

# 円形すべり面 Fellenius Slice moment 積分を Simpson 公式で求める研究

道都短期大学 正会員 今井芳雄

§1. 前言. 円形すべり面の Fellenius 解法は仮定した或 1つのすべり円に乗る土塊を鉛直線で多數の slice に分割 (Fig. 1.1) し各 slice に作用している重量のすべり円の中心に対する moment とすべり抵抗 moment のΣについて安全率を検討するわけであるが"分割片 (slice)" 每の断面積計算、断面重心位置の確定、分割片底面を通る半径の角θの算出等可なりの手数である。すべてが "scale up" であるから読み取り誤差もまた累積しないよう可なりの神経も使うわけである。すべり円の中心を変える毎、同様の手数が必要である。これを省力化すべく、筆者はすべり面が円だから円のもつ数学上の特質を利用してすべり円弧の長さを分割し Fellenius slice moment を積分で求める方途を研究したので"数値取扱も含め発表するわけあります

§2. Fellenius 円形すべり面の 解析

円形すべり面上の微小幅  $dx$  の土柱を考え (Fig. 2.1) この土柱の両側に働く諸力は平衡にあるとする Fellenius の仮定に従い土柱  $abcde$  には重心に重力のみ作用すると考える。その重量  $\Delta w$  は  $\Delta w = (h \cdot dx)w \dots (2.1)$

である。ここで  $h$  すべり円上土柱の高さ

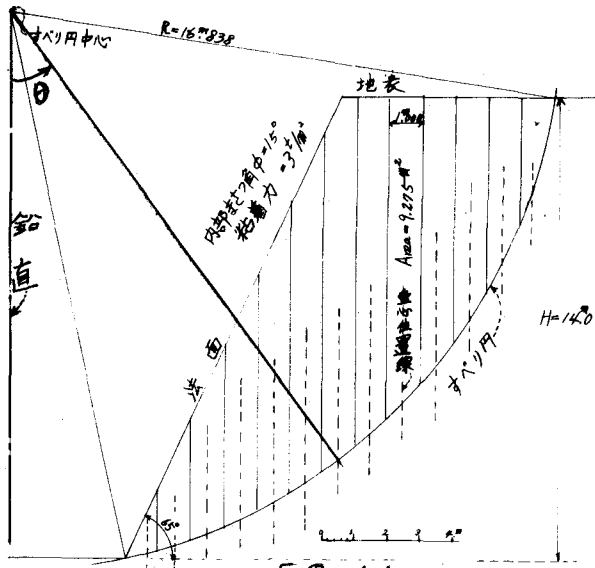
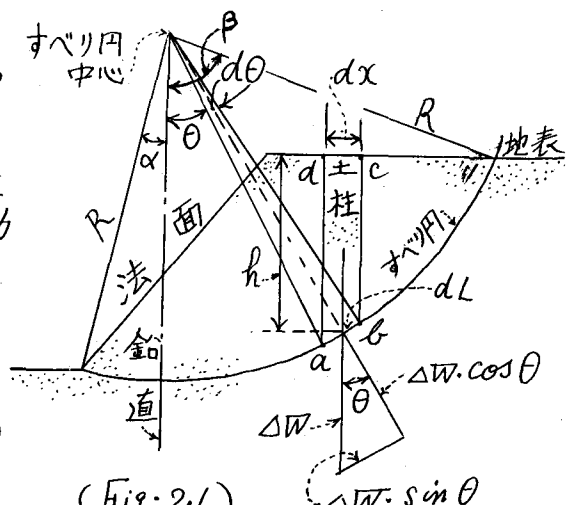


Fig. 1.1



(Fig. 2.1)

$d\chi$ …土柱の微小幅,  $w$ …土の単位体積重量, 重量 $\Delta W$ のすべり円に直角方向(すべり円半径方向)の分力 $= (\Delta W) \cdot \cos \theta$  …… (2.2),  $\Delta W$ のすべり円接線方向(すべり円半径に直角方向)分力 $= (\Delta W) \cdot \sin \theta$  …… (2.3)

ここで  $\theta$ …幅 $d\chi$ の土柱底面 $dL$ を通る半径が鉛直となす角 (Fig. 2.1). すべり円に沿って回転を起こす moment $= \sum \{ R \cdot (\Delta W) \cdot \sin \theta \}$  …… (2.4)

すべり円に沿うまさつ抵抗 moment $= \sum \{ R \cdot (\tan \phi) (\Delta W) \cos \theta \}$  …… (2.5)

ここで  $\phi$ …土の内部まさつ角,  $R$ …すべり円半径, すべり円に沿う粘着抵抗 moment $= \sum \{ R (dL) C_o \}$  …… (2.6) ここで  $dL$ …すべり円弧の微小長,  $C_o$ …粘着力 とすれば 安全率  $F$  は

$$F = \frac{\sum \{ R \cdot (\tan \phi) (\Delta W) \cos \theta \} + \sum \{ R \cdot (dL) C_o \}}{\sum \{ R \cdot (\Delta W) \sin \theta \}} \quad \dots \dots \dots \quad (2.7)$$

である、ここで  $d\chi$ を次の様に解析して積分形式にす。  $d\chi = dL \cdot \cos \theta = R \cdot d\theta \cdot \cos \theta$  …… (2.8) (2.1)より  $\Delta W = (h \cdot d\chi) w$

$$\Delta W = (h \cdot d\chi) w = h \cdot (R \cdot d\theta \cdot \cos \theta) w \quad \dots \dots \dots \quad (2.9)$$

従ふると安全率  $F$  は (2.7)式の  $\sum$  を  $\int$  に代えて

$$F = \frac{\int_{\alpha}^{\beta} R \cdot (\tan \phi) \cdot h \cdot (R \cdot d\theta \cdot \cos \theta) w \cdot \cos \theta + \int_{\alpha}^{\beta} R \cdot (R \cdot d\theta) C_o}{\int_{\alpha}^{\beta} R \cdot h \cdot (R \cdot d\theta \cdot \cos \theta) w \cdot \sin \theta} \quad \dots \dots \dots \quad (2.10)$$

$$= \frac{\int_{\alpha}^{\beta} R^2 (\tan \phi) \cdot w \cdot h \cdot \cos^2 \theta d\theta + \int_{\alpha}^{\beta} R^2 C_o \cdot d\theta}{\int_{\alpha}^{\beta} R \cdot w \cdot h \cdot \sin \theta \cdot \cos \theta d\theta} \quad \dots \dots \dots \quad (2.11)$$

(2.11)式においては  $\sin \theta, \cos \theta$  と  $\theta$  の三角関数が 2 種類あるのでこれをさげ次の変換を行ふ。  $\sin \theta = \frac{\tan \theta}{\sqrt{1 + \tan^2 \theta}}$  …… (2.12),  $\cos \theta = \frac{1}{\sqrt{1 + \tan^2 \theta}}$  …… (2.13)

これら  $\sin \theta, \cos \theta$  を (2.11)に用いると 安全率  $F$  は

$$F = \frac{\int_{\alpha}^{\beta} R^2 (\tan \phi) w \cdot h \cdot \frac{1}{1 + \tan^2 \theta} d\theta + \int_{\alpha}^{\beta} R^2 C_o \cdot d\theta}{\int_{\alpha}^{\beta} R^2 h \cdot w \cdot \frac{\tan \theta}{1 + \tan^2 \theta} d\theta} \quad \dots \dots \dots \quad (2.14)$$

の形となり  $\theta$  の三角関数は  $\tan \theta$  に一元化される。 すると  $\tan \theta$  の測定値  $\theta$  の形の測定値は非常に容易であり、測定値を他に変換する必要なくそのまま計算に持込むのである。

§3. 定積分と Simpson 式. (2.14)式の積分の中味は  $\theta$  の関数として  
分子では  $y_a = h \times \frac{1}{1 + \tan^2 \theta}$  ... (3.5), 分母では  $y_b = h \times \frac{\tan \theta}{1 + \tan^2 \theta}$  ... (3.6)

の 2つであるが  $\theta$  に応する土柱の高さ  $y$  の変化はすべり円に乗る土柱を縮尺図の scale up で求めその値とするわけである. そうすると横軸に角  $\theta$ , 縦軸に  $y$  をとれば  $y_a$  の変化を示す 1 つ曲線形が得られ, 同様に縦軸に  $y_b$  をとれば  $y_b$  の変化を示す 1 つ曲線形となる. (2.14)式の積分関係はこの图形の全面積を求めるによって達成されるわけである. これは Simpson 式を適用しようというわけであつて出来ただけ少ない数の  $y_a$ ,  $y_b$  でますますこれが出来ればそれが能率があがることになる.

#### §4. Simpson 公式. 角 $\theta_v$ の関数である

2 次曲線を  $y = A \cdot \theta_v^2 + B \cdot \theta_v + C$  といふの特別値を  $y_1, y_2, y_3$  で与える (Fig. 4.1) それは  $\theta_v = 0$  のとき  $y = y_1$ ,  $\theta_v = v$  のとき  $y = y_2$ ,  $\theta_v = 2v$  のとき  $y = y_3$  とすれば  $A, B, C$  を確定出来る. すると  $y = (\frac{1}{2}y_1 - y_2 + \frac{1}{2}y_3) \frac{\theta_v^2}{v^2} - (\frac{3}{2}y_1 - 2y_2 + \frac{1}{2}y_3) \frac{\theta_v}{v} + y_1$  ... (4.1) となる. (4.1) 式の

定積分は  $\int_0^{2v} y \, d\theta_v = \frac{1}{3} v [y_1 + 4y_2 + y_3]$  ... (4.2). Fig. 4.1

$$y_1 = \frac{3}{8}y_1 + \frac{3}{4}y_2 - \frac{1}{8}y_3 \dots (4.3), \quad y_{22} = -\frac{1}{8}y_1 + \frac{3}{4}y_2 + \frac{3}{8}y_3 \dots (4.4) \text{ は } v \text{ が広い時 } n \text{ めらかな曲線を得るために用いる.}$$

#### §5. 数値計算(单一土層の場合)

法面勾配  $65^\circ$ , 高  $14m$ ,  $\phi = 15^\circ$ ,  $W = 1.6 t/m^3$ ,  $C_o = 3 t/m^2$  の斜面安定解析 (解)  $1/100$  でかく (Fig. 5.1).

$$\tan \theta_1 = \frac{2.2 \text{ cm}}{10 \text{ cm}} = 0.22, \quad \tan \theta_3 = \frac{6.6 \text{ cm}}{10 \text{ cm}} = 0.66, \quad \tan \theta_5 = \frac{41.2 \text{ cm}}{10 \text{ cm}} = 4.12.$$

$$\tan \theta_1 \text{ から } \theta_1 = 0.21655 \text{ radian}, \theta_3 = 0.5834, \theta_5 = 1.3327, \theta_2 = \frac{\theta_1 + \theta_3}{2} = 0.4 \text{ radian}$$

$$\theta_4 = \frac{\theta_3 + \theta_5}{2} = 0.9581, \theta_{33} = \frac{\theta_4 + \theta_3}{2} = 0.771 \text{ rad.}$$

$$\theta_{44} = \frac{\theta_4 + \theta_5}{2} = 1.145 \text{ rad.}$$

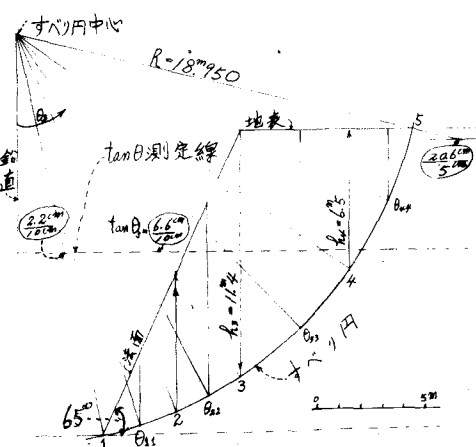
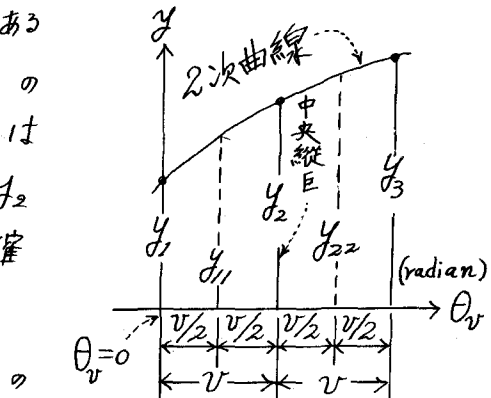


Fig. 5.1

計算に必要な派生数値は表-1である

表-1

正弦 $\theta$	$\theta_1$	$\theta_{11}$	$\theta_2$	$\theta_{22}$	$\theta_3$	$\theta_{33}$	$\theta_4$	$\theta_{44}$	$\theta_5$
radian	0.2166	0.3083	0.4000	0.4917	0.5834	0.7710	0.9581	1.1454	1.3327
$\tan \theta$	0.220	0.3185	0.4228	0.5356	0.6600	0.9716	1.4226	2.2072	4.120
$(\tan \theta)^2$	0.0484	0.1014	0.1788	0.2868	0.4356	0.9440	2.0238	4.8718	—
$h$ (meter)	$h_1 = 0$	$h_{11} = 3.25$	$h_2 = 6.36$	$h_{22} = 9.00$	$h_3 = 11.4$	$h_{33} = 9.2$	$h_4 = 6.5$	$h_{44} = 3.4$	$h_5 = 0$
$1 + \tan^2 \theta$									
$h_x \frac{1}{1 + \tan^2 \theta}$	0	2.9508 (3.064)	5.395 (7.035)	6.994 (7.035)	7.9410 (4.594)	4.7325 (4.594)	2.150 (0.62)	0.580 (0.62)	0
$h_x \frac{\tan \theta}{1 + \tan^2 \theta}$	0	0.9398 (1.063)	2.2811 (3.681)	3.7460 (3.681)	5.240 (4.265)	4.5981 (4.265)	3.058 (1.645)	1.2781 (1.645)	0

( ) 数値は (4.3), (4.4) 式で求めた値 (2 次曲線値)

表-1 は  $h_x \frac{1}{1 + \tan^2 \theta}$ ,  $h_x \frac{\tan \theta}{1 + \tan^2 \theta}$  を  $\theta$

に従って plot すれば Fig. 5.2 となる。

$$\text{滑動を考慮した moment} = \frac{\theta_5 - \theta_1}{6} \left[ h_1 \times \frac{\tan \theta_1}{1 + \tan^2 \theta_1} + 4 \right.$$

$$\left. + h_2 \times \frac{\tan \theta_2}{1 + \tan^2 \theta_2} + h_3 \times \frac{\tan \theta_3}{1 + \tan^2 \theta_3} \right] R^2 w + \frac{\theta_5 - \theta_3}{6}$$

$$\times \left[ h_3 \times \frac{\tan \theta_3}{1 + \tan^2 \theta_3} + 4 h_4 \times \frac{\tan \theta_4}{1 + \tan^2 \theta_4} + h_5 \times \frac{\tan \theta_5}{1 + \tan^2 \theta_5} \right] \times$$

$$R^2 w = 3.081 R^2 w = 1770.06 \text{ t.m. まさうけ}$$

$$\text{振り子 moment} = \frac{\theta_5 - \theta_1}{6} \left[ h_1 \times \frac{1}{1 + \tan^2 \theta_1} + 4 h_2 \times \frac{1}{1 + \tan^2 \theta_2} \right.$$

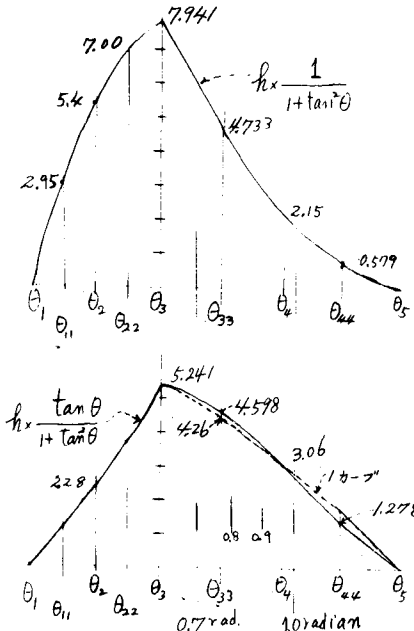
$$\left. + h_3 \times \frac{1}{1 + \tan^2 \theta_3} \right] R^2 w \cdot \tan \phi + \frac{\theta_5 - \theta_3}{6} \left[ 3, 4, 5 \right] R^2 w$$

$$\times \tan \phi = 3.879 R^2 w \cdot \tan \phi = 597.547 \text{ t.m.}$$

$$\text{粘着抵抗 moment} = R^2 C_o (\theta_5 - \theta_1) = R^2 \times 3.7 \text{ m}^2 \times 1.1162 = 1202.492 \text{ t.m. (Fig. 5.2)}$$

$$\text{すべり安全率 F} = (2.14) \text{ 式} = \frac{597.547 \text{ t.m.} + 1202.492 \text{ t.m.}}{1770.06 \text{ t.m.}} = \frac{1.800.04 \text{ t.m.}}{1770.06 \text{ t.m.}} = 1.017$$

Fig. 5.2 では  $\theta_3 \sim \theta_5$  の区间は 1 つの Simpson 式でカバーするが、広いので曲線が Simpson カーブと上下に交叉したが、月形部が殆んど相殺し誤差 1% 以内である



## §6. 數値計算Ⅱ(土層構成が2以上複層の場合)

円形すべり円に集まる土が2以上複層で構成されている場合(Fig: 6.1)は各層毎の重量を集計して土柱の重量とする  
 $(\sum h \cdot w) \times \frac{1}{1 + \tan^2 \theta}$ ,  $(\sum h \cdot w) \times \frac{\tan \theta}{1 + \tan^2 \theta}$

値が不連続になる点を予想して押え,  $\tan \theta$  を図上測定する.  $\tan \theta_1 = \frac{20.3 \text{cm}}{10 \text{cm}} = 0.23$   
 $\tan \theta_3 = \frac{4.8 \text{cm}}{10 \text{cm}} = 0.48$ ,  $\tan \theta_4 = \frac{8.55 \text{cm}}{10 \text{cm}}$   
 $= 0.855$ ,  $\tan \theta_5 = \frac{16.2 \text{cm}}{10 \text{cm}} = 1.62$  として

求めておく. 従って  $\theta_1 = 0.2261 \text{ radian}$ ,

$\theta_3 = 0.4475$ ,  $\theta_4 = 0.7074$ ,  $\theta_5 = 1.0178 \text{ radian}$ . Simpson式適用区间を  $\theta_1 \sim \theta_2$ ,  $\theta_2 \sim \theta_3$ ,  $\theta_3 \sim \theta_4$ ,  $\theta_4 \sim \theta_5$ , の4区间に各区间の中央点は円弧を2等分して定める  
 $\sum h \cdot w$  を  $7 \times 2 = 14$  だけ図上から求め 表-2 を作る. 表-2

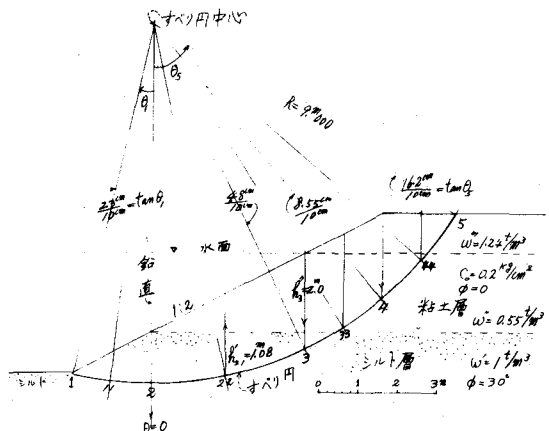


Fig: 6.1

区分	$\theta$	$\theta_1$	$\theta_{11}$	$\theta_2$	$\theta_{22}$	$\theta_3$	$\theta_{33}$	$\theta_4$	$\theta_{44}$	$\theta_5$
radian	0.2261	0.1131	0.00	0.2238	0.4475	0.5775	0.7074	0.8626	1.0178	
$\tan \theta$	0.2300	0.1135	0	0.2276	0.480	0.6516	0.855	1.1677	1.620	
$(\tan \theta)^2$		0.0129	0	0.0578	0.2304	0.4246	0.7311	1.3635	2.6244	
$\sum (h \cdot w)$	0	0.650	1.25	1.614	1.490	1.643	1.856	1.328	0	
$1 + \tan^2 \theta$		1.0130	1	1.0518	1.2304	1.4246	1.7311	2.3635	3.6244	
$\sum (h \cdot w) \frac{1}{1 + \tan^2 \theta}$	0	0.6417	1.25	1.5345	1.2110	1.1533	1.0922	0.5619	-	
$(\sum h \cdot w) \frac{\tan \theta}{1 + \tan^2 \theta}$	0	0.0728	0	0.3493	0.5813	0.7515	0.9167	0.6561	-	

表-2 はもとづき  $y_a = (\sum h \cdot w) \times \frac{1}{1 + \tan^2 \theta}$ ,  $y_b = (\sum h \cdot w) \times \frac{\tan \theta}{1 + \tan^2 \theta}$  を  $\theta$  を横軸に plot すれば Fig: 6.2 の通りである. この図を  $\theta_1 \sim \theta_2$ ,  $\theta_2 \sim \theta_3$ ,  $\theta_3 \sim \theta_4$ ,  $\theta_4 \sim \theta_5$  の4区間に分ける. 各区间は割合狭いから曲線は充分 Simpson 2 次曲線とみなしてよいと判断される. 各区间について  $\int y \cdot d\theta$  を Simpson 式で求める. 滑動をあこす moment =  $-\frac{\theta_2 - \theta_1}{6} \left[ 0 + 4(\sum h \cdot w) \frac{\tan \theta_{11}}{1 + \tan^2 \theta_{11}} \right]$

$$\begin{aligned}
 & + (\sum h_i \cdot w) \frac{\tan \theta_2}{1 + \tan^2 \theta_2} ] R^2 + \frac{\theta_3 - \theta_2}{6} [ \\
 & ] R^2 + \frac{\theta_4 - \theta_3}{6} [ \quad ] R^2 + \frac{\theta_5 - \theta_4}{6} [ \\
 & ] R^2 = R^2 [-0.0116 + 0.1444 + 0.1941 \\
 & + 0.1836] = R^2 \times 0.5105. \text{ 同様の} \\
 & \text{形式で、まさつ抵抗 moment} = R^2 \times \\
 & 0.4541, \text{ 粘着抵抗 moment} = R^2 \cdot C_o \\
 & \times (\theta_5 - \theta_c) = R^2 \times 0.955 \frac{t}{m^2}
 \end{aligned}$$

$$\text{すべり安全率 } F_s = \frac{R^2 [1.409]}{R^2 \times 0.5105} = 2.76$$

の結果が得られる。 $\theta_c$  は粘土とシルトの境界部について測定して求めた

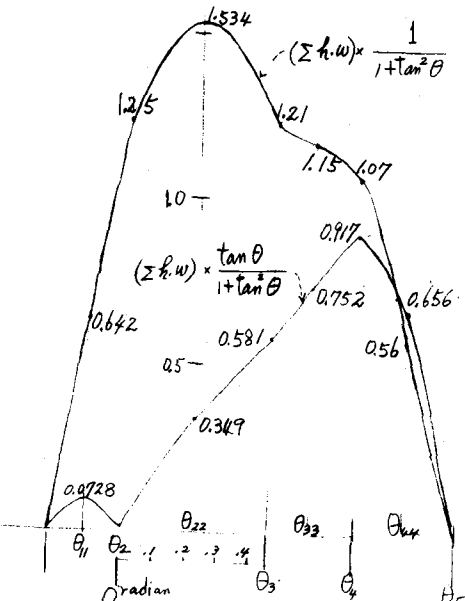


Fig: 6.2

87. 結論、円形すべり面 Fellenius Slice moment の各 slice 每の直接の moment 1 つずつ集計し代えて ① 滑動 moment は、従軸  $y_b = (\sum h \cdot w) \times \frac{\tan \theta}{1 + \tan^2 \theta}$  が横軸  $\theta$  radian に沿って動くとき作る全面積 (Fig: 6.2) を実測すれば、それから求めることが、まさつ抵抗 moment は同様  $y_a = (\sum h \cdot w) \times \frac{1}{1 + \tan^2 \theta}$  によって作られる全面積から求めることが明らかになった。これは (2.14) 式の誘導が出来たからである ② この面積測定は Simpson 式を用いることにしたもので  $\theta$  の区间 2 つ  $\pi$  radian が広いときは 2 次式で近似したため誤差があるわけだが、誤差の程度充分に推定出来るので信頼性がある ③ Simpson 式適用のためには 中央従軸が必要だが、それは單に扇形円弧長の 2 等分点を求める作図だけですべて対応角  $\theta$  rad は測定ではなく算定だけでよい。④ 分割片 (slice) 個々の実面積測定や、重心位置設定 (Fig: 1.1) という作図から解放され、数すくない 特定の  $\tan \theta$  の実測と、面積ではなく 1 本の線の長さたる土柱の長さを測定すればよいので省力化が実現出来る。⑤ すべり円に乗る土塊の分割幅を任意にえらぶことができる。未だ不完全の実験もあるが、筆者の方法が広く用いられることを期待するものであります (1976. 11. 22)